

## مطالعه مراکز رنگی ایجاد شده در تک کریستال سدیم کلراید توسط تابش‌های یونساز گاما به روش طیف‌نگاری نوری جذب و لومینسانس

ناصر بنایی و زهراء درریز\*

مرکز تحقیقات لیزر - گروه فیزیک حالت جامد

سازمان انرژی اتمی ایران

### چکیده

مطالعه و تحقیق مراکز رنگی در بلورهای هالید قلیایی، از نظر کاربرد آنها در تشکیل لیزر مرکز رنگی (color center laser) و وسائل ذخیره اطلاعات تحرک تازه‌ای یافته است. در میان خانواده هالیدهای قلیایی با ساختار FCC، بلور NaCl از نظر جنس و سهولت رنگ‌پذیری توجه پژوهشگران را در تحقیقات تجربی بیشتر جلب کرده است. در این مقاله نقصهای نقطه‌ای (مراکز رنگی) در بلور NaCl، رشد داده شده به روش چوکرالسکی<sup>۱</sup> که تحت تابش گاما با دوزهای متفاوت ۱۴ کیلوگری (KGy) قرار گرفته‌اند، در دماهای ۲۰، ۲۵ و ۳۰ کلوین به روش‌های طیف‌نگاری جذبی و لومینسانس مطالعه می‌شوند.

نتایج بدست آمده حاکی از وجود نوار جذبی و لومینسانس به شکل نوار شبه‌گاوی و با پهن شدگی همگن (۱۰۰-۱۵۰ nm<sup>-۱</sup>) است. مراکز<sup>۲</sup> که در اثر تابش یونساز ایجاد شده‌اند ناپایداری حرارتی بیشتری نسبت به روش رنگی‌سازی افزایشی نشان می‌دهند، ولی پهنهای نوار جذب به نوع نمونه، خلوص آن و درجه حرارت بستگی دارد و مستقل از روش رنگی‌سازی نمونه است. طیف نوری مراکز رنگی در این نوع جامد بلوری با جابجایی استوکس مشخص می‌گردد. این پارامتر، ویژه مراکز یونی در این جامدات بلوری است و مانع همپوشانی طیف‌های جذبی و لومینسانس می‌شود که در عملکرد لیزری مراکز رنگی حائز اهمیت است.

مقادیر نیم‌پهنا (Half Width) و انرژی قله نوار جذب در دمای K ۷۷ به ترتیب ۲۸۷ و ۲/۷۹۶ الکترون ولت و در دمای اتاق ۴۷۸ و ۶/۶۷۴ الکترون ولت تعیین شد. این مقادیر برای نوار لومینسانس در دمای K ۷۷، به ترتیب ۱/۳۱ و ۱/۲۲ الکترون ولت و در دمای اتاق ۰/۳۸۹ و ۱/۱۲۱ الکترون ولت بدست آمد.

سرد و به طریق نوری پمپ می‌شوند، نسبت به توان

مقدمه

دمش آستانه پایین توان خروجی نسبتاً "بالایی دارند.

مراکز رنگی در بلورهای هالید قلیایی نقش مهمی

در ایجاد محیط فعال نوری برای لیزرهای حالت جامد با

طول موج قابل تنظیم دارند. هنگامی که این بلورها

\*- متن کامل این نوشتار در پایان نامه کارشناسی ارشد مؤلف موجود می‌باشد.

۱- Czochralski Process

نوری بین طول موجهای  $170\text{nm}-40\mu\text{m}$  و در  $\text{NaCl}$  بین طول موجهای  $50-80\mu\text{m}$  است. نقطه ذوب این بلورها پایین است و به آسانی با روش رشد از حالت مذاب می‌توان تک بلور را با خلوص شیمیایی بالا و کیفیت اپتیکی خوب رشد داد.

این بلورها، به استثنای  $\text{CsCl}$  و  $\text{CsBr}$  و  $\text{CsI}$ ، دارای شبکه برآو<sup>۱</sup> مکعب مرکز سطحی (FCC) آندکه در آن هر یون در احاطه شش یون با بار ناهمنام خود قرار می‌گیرد.

خاصیت مهم فیزیکی این مواد که کاربرد آن در لیزر با طول موج قابل تنظیم مورد توجه است، وجود گذار<sup>۲</sup> گسترده و شدید در این مواد می‌باشد. بطور کلی، در نتیجه برهم کنش شدید الکترونها مربوط به نقص شبکه بلور با یونهای مرتعش اطراف خود، گذار نوری با بهنای نوار معین گسیل می‌شود. همچنین در قبال انواع نقایص و شبکه میزبان در ناحیه طول موجهای  $8-40\mu\text{m}$  نیز گذارهایی صورت می‌گیرد.

### شرح آزمایش

بلورهای خالص کلرید سدیم با کیفیت اپتیکی بالا، پس از بهینه‌سازی دستگاه رشد بلور، به روش چوکرالسکی در گروه فیزیک حالت جامد تهیه و ب— ابعاد  $22\text{cm} \times 5\text{cm} \times 5\text{cm}$  و

با حضور انواع مراکز رنگی و شبکه بلور میزبان، می‌توان در گستره طول موجهای قابل تنظیم در ناحیه فروسرخ ( $400-800\text{nm}$ ) لیزر مرکز رنگی ایجاد کرد. نخستین مشاهده عمل لیزری در محیط‌های فعال شامل مراکز رنگی، در  $1344/1965$  به توسط Fritz Menke گزارش شد [۱]. در تحقیق این پیشگامان میله بلوری  $\text{Li}^+:\text{KCl}$ ، که دو سطح انتهایی آن با نقره پوشش داده شده بود، با لامپ درخش زنون پمپ شد و نوسان لیزری ناشی از گذارهای مراکز رنگی در محدوده  $200-400\text{nm}$  مشاهده گردید. در آن زمان لیزر با طول موج قابل تنظیم هنوز کشف نشده بود و کوششی هم برای تنظیم طول موج لیزری به عمل نیامد. تقریباً ده سال بعد، پس از پیدایش منابع پرقدرت دمش لیزری، فناوری کاواک و سازوکار تنظیم طول موج "لیزر مرکز رنگی" توسعه یافت؛ به طوریکه Mollenauer و Olson [۲] ماده مشابهی را با لیزر کربیتون پمپ کردند و به عنوان بنیانگذار "لیزر مرکز رنگی" قابل تنظیم با طول موج پیوسته" معرفی شدند. بهنای گاف نوار (Band Gap) بلورهای یونی هالید قلیایی بیش از  $10\text{ eV}$  ولت است. بلورهای خالص در ناحیه وسیعی از طیف شفاف‌اند. بنابراین، جذب در ناحیه فرابینش دوربه علت برانگیختگی الکترونی یونهای هالوژن بین نوارهای اصلی شبکه از نوار ظرفیت به نوار هدایت است. همچنین جذب در ناحیه فروسرخ ناشی از ارتعاشات غیر همفاز یونهای ناهمنام در شبکه است. به عنوان مثال، در بلورهای خالص  $\text{KCl}$  ناحیه شفاف

<sup>۱</sup>- Bravais lattice

<sup>۲</sup>- Transition

جذب سطحی گازها و یا برهمکنش نور با گازهای جذب شده در سطح مرتبط می‌باشد که باعث انحراف خط زمینه جذب می‌گردد. در عمل، با ترسیم خطی مستقیم که پایین ترین نقاط منحنی جذب را از ناحیه سرخ به ناحیه بنفش وصل می‌کند، خط زمینه جذب بدست می‌آید و برای تعیین شکل نوار جذب F واقعی (شکل ۲-ب)، هر یک از نقاط تجربی روی منحنی جذب نسبت به خط زمینه سنجیده می‌شود [۵].

اندازه‌گیری طیف لومینسانس (PL) مراکز F با آرایش تجربی (شکل ۳) و در شرایط خلاء ( $10^{-9}$  Torr) و دماهای مشخص (K) (LNT: ۷۷ K, LHT: ۲۰ K) (RT: ۳۰۰ K) انجام گرفت. در این اندازه‌گیری طول موج تابش برانگیختگی در ۵۰۰ nm، ثابت نگهداشته شد و تغییرات شدت PL نسبت به توزیع طیف‌گسیلی (طول موج فوتون‌گسیل شده از ماده) به وسیله تک رنگساز در ناحیه انتخابی (۱۵۰۰–۶۰۰ nm) تعیین گردید. سرانجام شدت PL نهایی به صورت تابعی از طول موج نور‌گسیل شده از ماده اندازه‌گیری شد (شکل ۴).

### بحث و بررسی

شکل ۲، طیف جذبی یک نمونه تک بلور NaCl را نشان می‌دهد. منحنی طیف جذبی که به وسیله طیف‌سنج ترسیم شده، نمایانگر مجموع نوارهای جذب F و K مربوط به مراکز F است، بدین صورت که برآمدگی کوچکی در سمت طول موج کوتاهتر از نوار F

۲/۵ cm  $\times$  ۲/۵ cm  $\times$  ۰/۳۳ cm تابش پرتوگاما با دوز تابشی  $1/4$  Gy/sec ۱۴ KGY قرار گرفت. بطوریکه چگالی نوری [O.D.] غلظت  $F/cm^2/\text{مکار} \approx 3 \times 10^{16}$ , براساس معادله Smakula (عدد اسماکولا که معرف جنس بلور است) همخوانی دارد [۴]. پس از رنگی‌سازی نمونه که در تاریکی و در پوشش ورق نازک الومینیوم انجام گرفت، آن را سریعاً به محل نمونه (کریوستات) در طیف‌سنج نوری ۱۷DX منتقل کردیم و در دمای ازت مایع (LNT: ۷۷ K) و دمای اتاق (RT: ۳۰۰ K)، در گستره طول موجی ۱۹۰–۱۰۰۰ nm، چگالی نوری طیف جذبی نمونه اندازه‌گیری شد. پرتو نور با طول موج انتخابی بطور عمودی بر سطح نمونه می‌تابد و شدت نور خروجی از نمونه با شدت نور ورودی به آن به وسیله رابطه:  $O.D. = \log(I/I_0)$  مقایسه می‌گردد. با فرض ثابت بودن شدت پرتو فرودی و با محاسبه ضخامت بلور (x)، ضریب جذب  $\alpha (cm^{-1})$  از رابطه زیر بدست می‌آید:

$$\alpha = \frac{2/30 O.D.}{X}$$

از تحلیل منحنی شکل ۲-الف نتیجه می‌شود که انحراف خط زمینه جذب، به علت پراکندگی در سطوح نمونه، از ناحیه طیفی سرخ به سمت ناحیه فرابنفش افزایش می‌یابد. این نتیجه در اندازه‌گیریهای روی سطوح مختلف ناهموار تایید شده است و در واقع، به

تعیین نمود. شواهد حاکی از آن است که حتی در دماهای پایین، دقت تفکیک نوار K بسیار ضعیف است، به طوریکه نمی توان مقادیر مناسب برای  $E_v$  و H بدست آورد. برای تفکیک نوار K از منحنی جذب ترسیم شده توسط طیف سنج روش تجربی وجود دارد؛ بدین ترتیب که منحنی های بدست آمده با نقطه یابی نسبت به خط زمینه جذب تصحیح شده و سپس توسط کامپیووتر منحنی جذب توار F واقعی بدست می آید (شکل ۲-ب).

در این صورت، یک نوار جذب در ناحیه مربوط به طول موج ۴۶۲ nm، به عنوان نوار واقعی F حاصل می شود. همچنین، در نمونه مشابه که تحت تابش بیش از ۱۴ کیلوگری قرار می گیرد، نوار کوچک ولی قابل تفکیک ۸۱۰ nm مشاهده می شود.

منحنی جذب هر یک از این نوارها با افزودن میزان دوز افزایش می یابد. ضریب جذب قله نوار F (یا  $\alpha$ ) در دمای اتاق، قبل از رنگبری نوری (Optical Bleaching) به ترتیب  $16/8 \text{ cm}^{-1}$  و  $17/21 \text{ cm}^{-1}$  می باشد. مقادیر تخمینی نیم پهنه ای نوارهای F، با توجه به فرمول اسماکولا و با استفاده از عدد  $f=0/81$  برای نمونه NaCl در تابش های ۵ و ۱۴ کیلوگری در جدول ۱ ارائه شده است.

(ناحیه طول موجی بنفش) به نام نوار K ظاهر می گردد. در این آزمایشها سعی براین بود که اندازه گیری روی نوار باریک F واقعی انجام شود. زیرا از لحاظ نظری، برای چاه پتانسیل مرکز F تنها وجود یک گذار پیش بینی می شود. بنابراین، اثر ترازهای بالاتر حذف می گردد. اثر نوار K ناشی از گذار به تراز بروانگی خته بالاتر است و کمتر از ۱٪ بر پهنه ای خط نوار F اثر می گذارد. حذف این نوار در دماهای پایین به نوع بلور هالید قلیایی بستگی دارد. به عنوان مثال، در نمونه KCl نوار جذب F و K به وضوح نمایان می شوند. چون نوار K کوچک است و با نوار F کاملاً همپوشانی ندارد، لذا در دماهای پایین می توان آنها را با دقت نسبتاً خوبی تفکیک کرد. اما در مورد بلور NaCl موضوع تا حدودی پیچیده است؛ بدین صورت که گسترش طیف به طرف ناحیه بنفش در اثر عدم تفکیک باند K و یا به علت واپیچش نوار F واقعی است که با تصوری قابل تفسیر نبوده است. برای توجیه این مطلب می توان گفت که گسترش طیف جذب F به طرف ناحیه بنفش ناشی از همپوشانی با نوار کوچک K است و این نوارها غیرقابل تفکیک اند. در نتیجه تعیین شکل نوار F در ناحیه بنفش ( $E_v$ )، با عدم قطعیت همراه است و معمولاً مقدار واقعی  $E_v$  را فقط در دماهای پایین می توان

جدول ۱-نتایج میانگین اندازه گیری به عمل آمده در تابش های مختلف بر نمونه

$N_f (\times 10^{16}) \text{ cm}^{-2}$	$H_f (\text{eV})$	$\alpha_f (\text{cm}^{-1})$	میزان تابش (KGy)	نمونه
۶/۶۸	۰/۴۷۵	۱۶/۸	۵	۱
۶/۹۳	۰/۴۷۸	۱۷/۲۸	۱۴	۲

شدت طیف جذبی نوار F با افزایش مدت رنگبری کاهش می‌یابد، در حالیکه در مورد نوار M افزایش می‌یابد (شکل ۵). تداوم رنگبری باعث ایجاد نواری با قله‌ای در ناحیه  $722\text{nm}$  می‌شود که در ناحیه انرژی بالاتر از نوار M قرار می‌گیرد. این نوار، R نامیده می‌شود. آدامه فرایند رنگبری باعث افزایش مراکز جذب R همپوشانی نوارهای R و M می‌گردد و در نهایت نوار R حاکم خواهد بود.

آزمایش‌های انجام شده در دمای اتاق، به منظور بالا بردن قدرت تفکیک و دقت اندازه‌گیری، در دمای ازت مایع (77K) تکرار شدند. نتایج در جدول ۲ مندرج و مقایسه نمودارها در شکل ۲-ب مشهود است. اثر رنگبری بانور سفید در دمای اتاق روی نمونه پرتو دیده ( $\alpha_f = 6/93 \times 10^{16}\text{cm}^{-1}$ ) در مدت‌های مختلف، بین ۵ تا ۱۵ دقیقه، بررسی و مقایسه شد. نتایج برای دور زمان برگزیده در جدول ۳ مشاهده می‌شود.

جدول ۲- مقایسه مقادیر مختلف نیم‌پهنه‌ای نوار ( $H_f(\text{ev})$ ) و قله نوار جذب ( $E_a(\text{ev})$ ) در دماهای K ۷۷ و ۳۰۰ و میانگین مقادیر اندازه‌گیری شده همراه با خطای پهنه‌ای نوار ( $\Delta H$ )

$\Delta H$	$E_a(\alpha)\text{ev}$	$H_f(\text{ev})$	دما (K)
۰/۰۰۷	۲/۶۹۴	۰/۲۷۸	۷۷
	۲/۶۹۷	۰/۲۸۳	۷۷
	۲/۶۹۷	۰/۲۳	۷۷
۰/۰۰۷	۲/۶۹۶	۰/۲۸۷	میانگین
	۲/۶۷۹	۰/۴۶۹	۳۰۰
	۲/۶۷۴	۰/۴۷۲	۳۰۰
۰/۰۱۵	۲/۶۷۴	۰/۴۷۳	۳۰۰
	۲/۶۷۶	۰/۴۷۱	میانگین

جدول ۳- مقایسه مقادیر قله نوار جذب F ( $E_a$ ) و ضریب جذب  $\alpha_f$  در قبل از رنگبری نوری و بعد از مدت ۵ و ۱۵ دقیقه رنگبری نوری

بعد از رنگبری نوری در دمای اتاق		قبل از رنگبری نوری			
$E_a (\text{ev})$	$\alpha_f(\text{cm}^{-1})$	$E_a (\text{ev})$	$\alpha_f(\text{cm}^{-1})$	(دقیقه) زمان رنگبری نوری	
۲/۶۷۳	۱۶/۸	۲/۶۷۴	۲۱/۶۷	۵	
۲/۴۸۲	۱۸/۸۳	۲/۴۸۲	۲۲/۴۸	۱۵	

### خواهیم بود.

مراکز F که در اثر تابش یونساز رنگی شده‌اند، با ناپایداری حرارتی بیشتری نسبت به روش رنگی‌سازی افزایشی (Additive Coloration) همراه‌اند و تنها در اثر تابش نور مناسب (نور سفید، یا نور با طول موج ماکزیمم نوار جذب F) ایجاد می‌شوند.

دو تفاوت عمده میان طیف نشری مراکز یونی در شبکه بلوری و طیف آنم گازی عبارتند از وجود پهن‌شدگی همگن و فاصله انرژی بین قله نوار جذب و نوار لومینسانس است که جابجایی استوکس نامیده می‌شود. این اختلاف بدلیل فرایند واهلش شبکه است که پس از گذار جذب منجر به نشر یا جذب فوتون می‌شود. بنابراین انرژی گذار لومینسانس کاهش می‌یابد و نوار در ناحیه انرژی کمتر پدیدار می‌شود. این نکته مشخص می‌سازد که بین دو ترازی که فرایند جذب صورت می‌گیرد، دیگر فرایند لومینسانس رخ نمی‌دهد.

در شکل ۴، فاصله انرژی (جابجایی استوکس) محسوس است و هر نوع عمل حرارتی یا نوری بروی بلور، باعث تغییر مؤثر در خواص فیزیکی آن خواهد شد. بنابراین ضروری است در نگهداری بلور پس از فرایند رنگی‌سازی در تاریکی و در دمای پایین ( $T < 170^{\circ}\text{K}$ )، دقت لازم به عمل آید تا از تبدیل سریع نوار باریک F به نوار عریض B جلوگیری شود [۵].

خط نوار جذب F شبیه گاووسی و دارای پهن‌شدگی همگن است، در نتیجه، تمام مراکز در انرژی مدلیزرو سهیم‌اند و با یک مدل فرانسی ویژه از نوار دمش، پمپ و برانگیخته می‌شوند. پنهانی خط همگن  $\Delta v \sim 1000\text{cm}^{-1}$  است. اگر فرایند عکس جذب به صورت گذار  $1S \rightarrow 2P$  باشد انتظار می‌رود که شکل خط مربوط به آن مانند جذب نامتقارن شود؛ می‌دانیم، نشر دارای بازدهی کوانتمی  $1/\nu \approx 17\text{scc}^{-1}$  که دو برابر طول عکس به علت طول عمر  $1S \rightarrow 2P$  است نشان می‌دهد که این گذار ناشی از تراز حالت محض  $2P$  نیست. مراکز F به دلایل ذیل نمی‌توانند مراکز نوری فعال در عملکرد لیزری باشند، اما به عنوان محصولات اولیه رنگی‌سازی به کمک کنترل فرایند تجمع پذیری (Aggregation)، درجه حرارت و میزان ناخالصی در هنگام رشد بلور، به مراکز رنگی فعال تبدیل می‌شوند. گستردگی تابع موج برانگیخته پس از واهلش شبکه که منجر به تشکیل تراز حالت  $\text{RES}^+$  می‌شود، احتمال گذار از این تراز به تراز لیزری پایین‌تر را کاهش می‌دهد.

این تراز، خود ترکیبی از ترازهای حالت  $2S$  (به میزان ۶۰٪) و  $2P$  (به میزان ۴۰٪) می‌باشد که در عمل، با توجه به قانون پاریته، احتمال گذار مجاز بین دو تراز با پاریته یکسان (تراز  $2S$  به تراز  $1S$ ) را کاهش می‌دهد. بنابراین، شاهد افزایش طول عمر تراز برانگیخته (تراز بالایی لیزر) و کاهش بازدهی کوانتمی گسیل لیزری

نوار بسته به نوع بلور و پهنانی نوار نیز با درجه حرارت تغییر می‌کند که با نتایج کار دیگران مطابقت دارد [۵و۶].

۵- تغییرات نیم‌پهنانی نوارهای جذب و لومینسانس F با دما در نمونه مورد نظر، از حدود ۷۷ تا ۲۹۸ کلوین، تقریباً خطی است. این نتیجه با نتایج دیگران [۵و۶] که برای بلورهای هالوژن قلیایی غیر مخلوط بدست آمده است به خوبی توافق دارد و پهنانی خط طیف طبق پیش‌بینی تئوری با عامل  $\frac{1}{2}$  تغییر می‌کند.

۶- تغییر انرژی قله‌های نوار جذب و لومینسانس نسبت به دما، غیرخطی است.

۷- تأثیر رنگ‌بری نوری در دمای اتاق در در مدت‌های مختلف بر روی نوارهای جذب مطالعه شد و نتایج زیر بدست آمد:  
الف) نوار جدیدی در اثر فرایند رنگ‌بری نوری آشکار شد که به نام نوار R مشخص شده است.

ب) به دلیل برهمکنش شدید بین هر مرکز یونی با یونهای اطراف آن در شبکه مرتعش، طیف لومینسانس مرکز یونی در این جامد بلوری با افزایش جابجاگایی استوکس همراه است. این عامل از همبوشانی طیف‌های جذب و لومینسانس جلوگیری می‌کند و در عملکرد لیزری مراکز رنگی حائز اهمیت است [۷-۹].

### تشکر و قدردانی

بدینوسیله از آقای علی مسعودی قازیار، که در مراحل آزمایش لومینسانس همکاری صمیمانه

بدین ترتیب نتایج اندازه‌گیری باگزارش دیگران سازگار است.

در گذار الکترونی ES → GS در فرایند جذب و بدنبال آن گذار الکترونی GS → RES در فرایند لومینسانس، طیف نوار لومینسانس در دمای پایین با کمترین اتلاف انرژی (در اثر جذب یا نشر فوتون در مرحله واهلش) همراه است. در نتیجه، در مقایسه با نوارهای نشر ناشی از دمای بالاتر، منحنی طیف نشري در ناحیه انرژی بالاتر (طول موج کوتاه‌تر) قرار می‌گیرد.

### نتیجه‌گیری

۱- مراکز F واقعی را می‌توان با فرایندهای رنگی‌سازی مختلف ایجاد کرد. در رنگی‌سازی به طریق تابش، علاوه بر ایجاد نوار اصلی امکان ایجاد نوارهای ثانوی نیز وجود دارد.

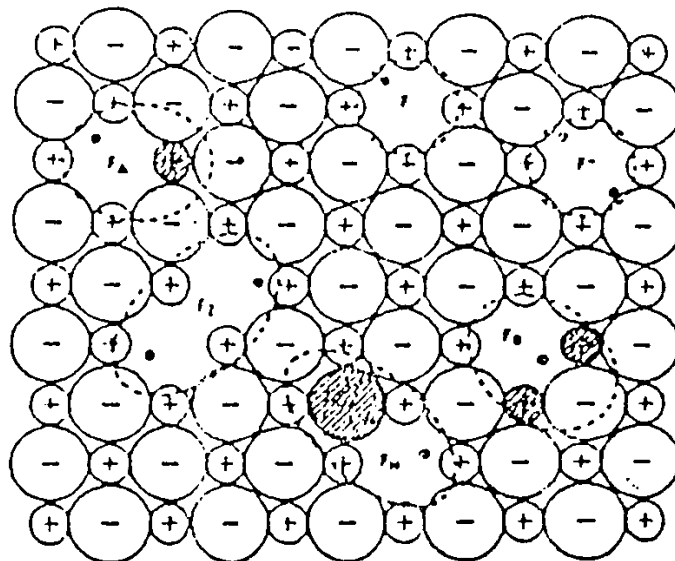
۲- در نمونه تک بلور NaCl رنگی شده توسط تابش گاما، نوارهای جذب نور در نواحی مرئی و فرابنفش و نوارهای لومینسانس در نواحی فروسرخ نزدیک مشاهده می‌شوند. (نتایج اندازه‌گیری مورد ارزیابی قرار گرفتند).

۳- در این آزمایشها، چون هیچگونه فرایند حرارتی و نوری که منجر به تغییر پهنانی نوار F شود، انجام نگرفته است لذا مراکز F واقعی ایجاد شده است.

۴- طیف جذب در دمای پایین باریکتر و به سمت انرژی بیشتر (طول موج کوتاه‌تر) جابجا می‌شود. قله

زهرا دزربیز و ناصر بنایی، مطالعه مراکز رنگی ایجاد شده در تک کریستال سدیم کلراید توسط تابش های یونساز گاما به روش طیف‌نگاری نوری جذب و لومینسانس

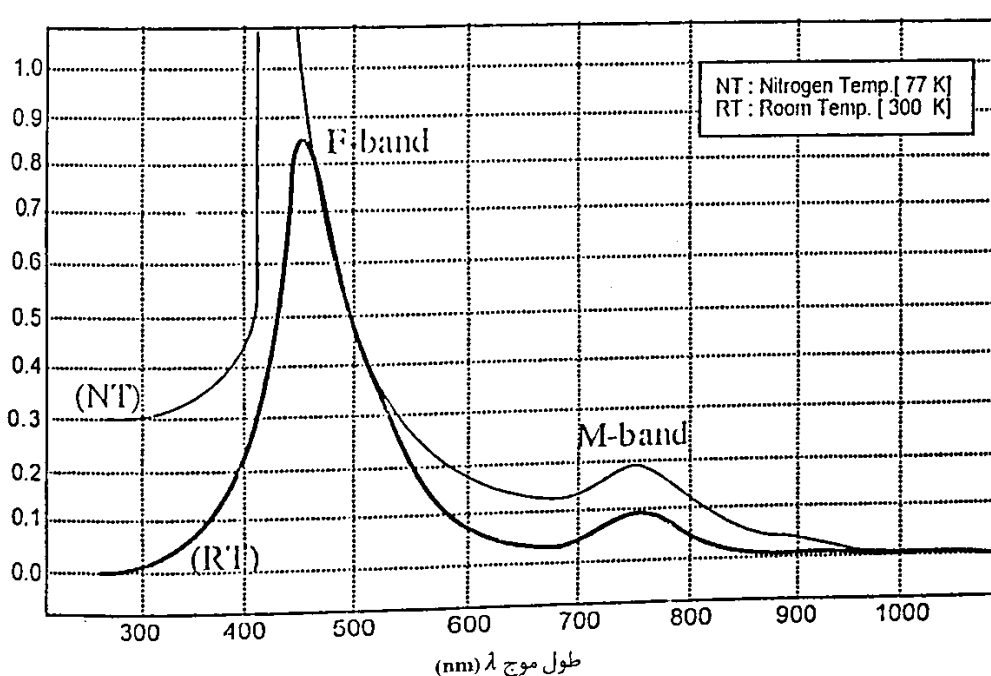
مژگان درویش ک زحمت تایپ این نوشتار را به عهده داشتند. و آقای رضا کلهر که برای تابش دهی نمونه ها، زحمت فراوانی را متحمل شده اند، همچنین از خانم داشته اند صمیمانه تشکر می نمایم.



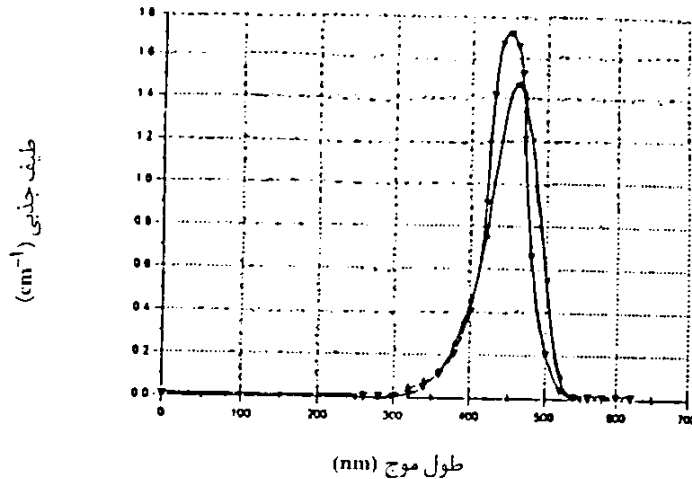
شکل ۱- مدل ساختاری مرکز F و مراکز مجتمع آن، کاتیون و آئیون ناخالصی به صورت دایره های خط چینی الکترون بدام افتاده به صورت نقطه در شکل نمایش داده شده است

خط چینی الکترون بدام افتاده به صورت نقطه در شکل نمایش داده شده است

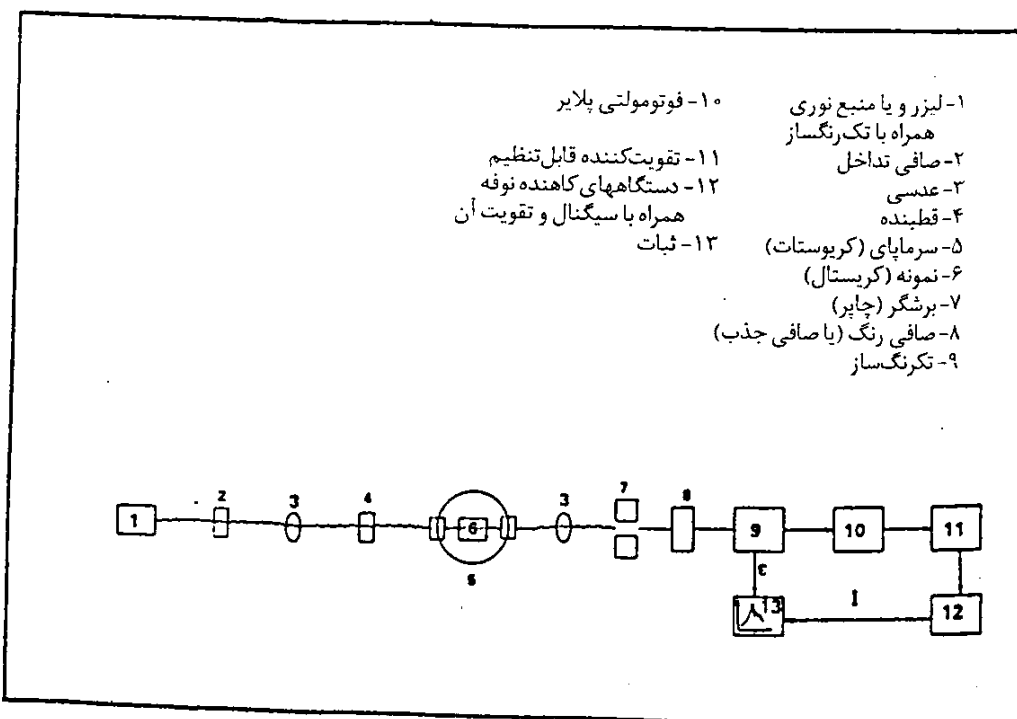
ویژه‌شناسی  
و اجزای



شکل ۲-الف: نمودار جذب مرکز F در دمای مختلف

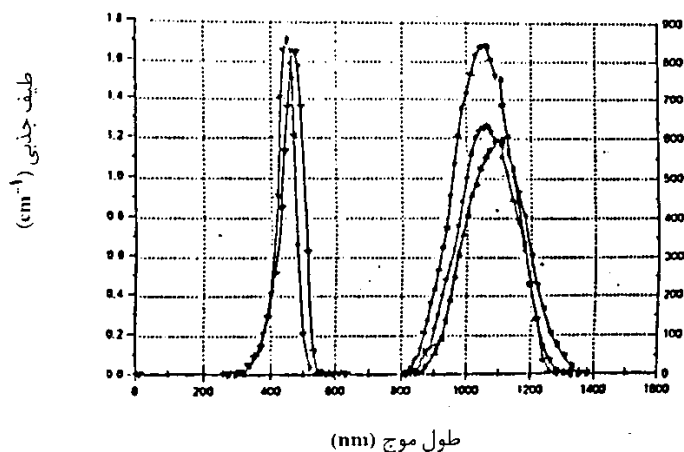


شکل ۲-ب: نمودار جذب پس از تصحیح خط زمینه جذب



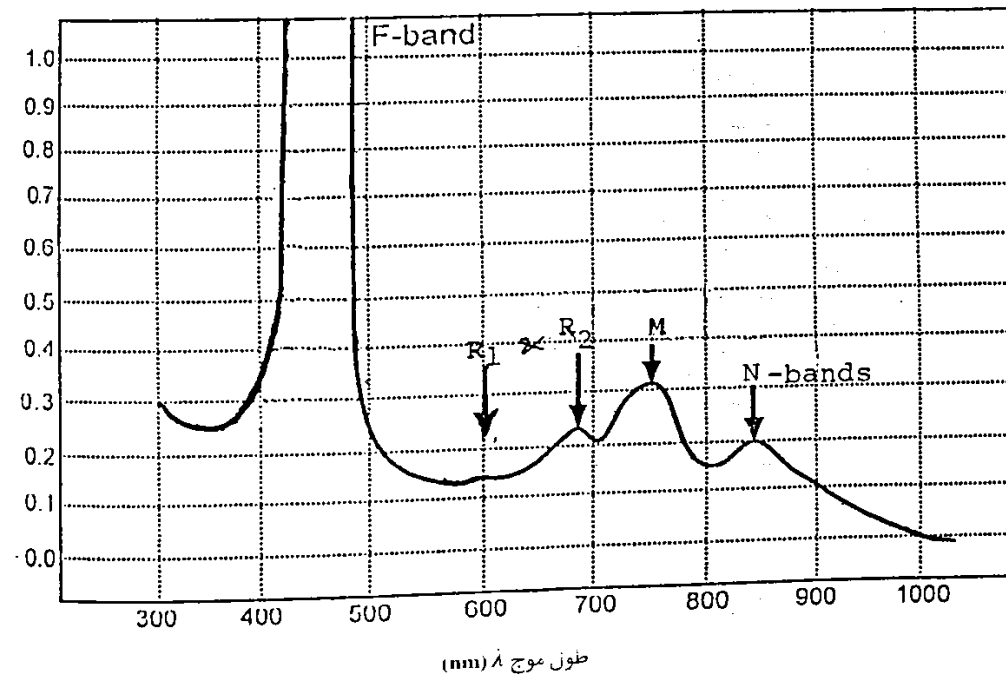
شکل ۳- طرح ساده دستگاه اندازه گیری فتولومینسانس (PL)

زهرا دزیریز و ناصر بنایی . مطالعه مراکز رنگی ایجادشده در تک کریستال سدیم کلوايد توسط تابش های بونساز گاما به روش طیف‌نگاری نوری جذب و لومینسانس



شکل ۴- مقایسه طیف های جذب و نشر (PL) و جابجایی استوکس در نمونه تک بلور NaCl

دانشگاه تهران



شکل ۵- منحنی طیف جذبی مراکز F<sub>2</sub> و F<sub>4</sub> و (R)F<sub>2</sub> و (M)F<sub>2</sub> و (N)F<sub>4</sub>

### *References*

1. **B. Fritz and E.I. Mende**, solid commun. 3,61 (1965).
2. **L.F. Mollenauer and D.H. Olson**, phys. lett. 24, 386 (1974).
3. **Werner Gellermann** , J. phys. Chem. Solids 52, 249 (1991).
4. **F.E. Williams and M.H. Hebb**, phys. Rev. 84,1181 (1951).
5. **J.J. Markham** in "F-Center in Alkali Halide" solid State physics, vol 8, (1966).
6. **B.N. Lakshminarasappa, N. Devaray**, Cryst. Latt. Def and Amorph. Mat. vol. 10, pp:113-117, (1983).
7. **Sergey B. Mirov and Tasoltan Basiev** in "progress in color center Lasers", IEEE J. Quantum Electrons, vol 1, No. 1, pp: 22-29, (1995).
8. **Tasoltan T. Basiev, Sergei B. Mirov and Vyacheslav V. Osido** in "Room-Temperature color center lasers", IEEE J. Quantum Electrons, vol 24, No. 6, pp: 1052-1069, (1988).
9. **K. Möllmann and W. Gellermann** in "Passive Stabilization of Synchronously mode-locked NaCl color center laser by coherent photon seeding", optics letters vol. 19, No. 7, pp: 490-492, (1994).

## OPTICAL ABSORPTION AND LUMINESCENCE STUDY OF COLOR CENTERS PRODUCED BY $\gamma$ - IRRADIATED SODIUM CHLORIDE SINGLE CRYSTALS

Z. Dorriz, N. Bannaii

Laser research center, Solid-state physics Devision

Atomic Energy Organization of Iran

### Abstract

Color center research in alkali halide crystals is receiving a fresh impetus in view of their application as color center lasers and information storage media. Amongst the family of alkali halides having the rocksalt FCC structure, NaCl was the most favoured for experimental investigation in view of its nature and simply in coloration.

In this paper, we report useful information on the optical characteristics of irradiated NaCl crystals. NaCl single crystals were  $\gamma$ -irradiated for doses varying 5 and 14 KGy range at about 28°C. Studies of optical absorption and luminescence of the colored crystals have been done at 20, 77 and 300 K, using cary 17 Dx and Modular photoluminescence setup with single beam spectrometer GCA(216-5), respectively.

The Crystal have been grown by Czochralski method in our laboratory. The absorption and luminescence spectrum are separated and show a large stokes shift without overlap which is suitable for laser applications.

In this type of crystal, the shape of the optical absorption and luminescence bands are parabolic, with half width of approximately  $\Delta\nu \sim 1000 \text{ cm}^{-1}$ . The result obtained shows that the half-width and the position of the F-band in the crystal are 0.287 eV and 2.796 eV at 77°K, and 0.478 eV and 2.674 eV at room temperature in the case of luminescence, the above parameter are 0.31 eV and 1.23 eV at 77° K, and 0.389 eV and 1.121 eV at room temperature.